

éomètres Alignement

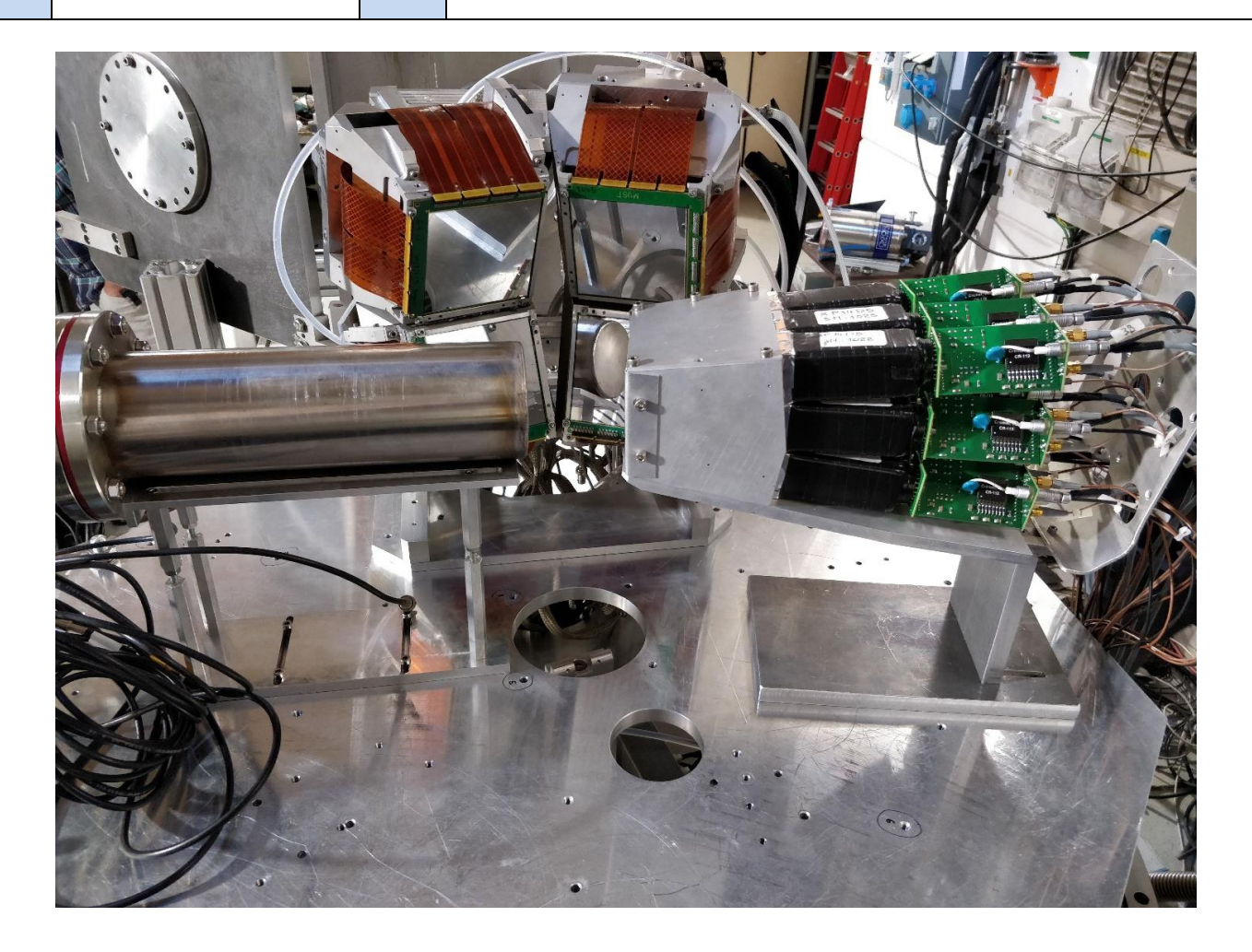
Secteur Technique de la Physique

Référence *STP-2018-E054* 

Page

1/6

Objet :	Expérience E744_I. Stefan - J. Mrazek_LISE-D6			Date :	22.05.2018
De :	A. Lefèvre, F. Legruel	A :	I. Stefan, J. Mrazek, F. De Oliveira, V. Girardalcindor, O. Kamalou F. Marie Saillenfest, A. Matta, L. Ménager, V. Morel, J.C. Thomas		



## Table des matières

1	Tableau des relevés topométriques des dispositifs expérimentaux	2
2	Alignement des détecteurs MUST2	3
	2.1 Système de coordonnées utilisé	3
	2.2 Croquis montrant la position du point calculé sur le silicium	4
	2.3 Incertitudes de mesure	4
	2.4 Principe de numérotation des détecteurs Si	5
	2.5 Position des détecteurs MUST2 (en mètre)	5
3	Position du détecteur EXL (en mètre)	6
4	Position du détecteur PTT (en mètre)	6



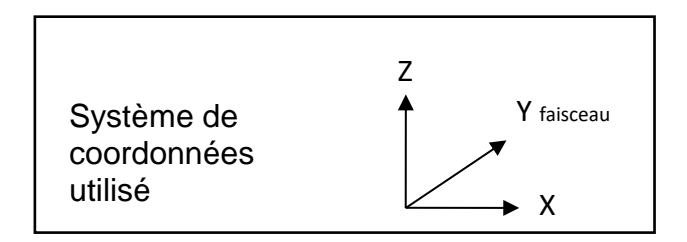
éomètres Alignement

Référence *STP-2018-E054* 

Page

2/6

# 1 <u>Tableau des relevés topométriques des dispositifs expérimentaux</u>



Objet	réf. axe faisceau théorique ECART HORZ.  (dx) en mm  ± 0.2  NOTA: lecture faisceau dans le dos	réf. axe faisceau théorique ECART VERT. (dz) en mm ± 0.2	DISTANCE depuis l'axe du Qpôle D3_Q68 (dy) en mm	Commentaire	Repéré le	
D3_Q66			- 758.0	Axe du Qpôle	- 24.042018	
D3_Q68			0.0	Axe du Qpôle	24.042018	
D3_PREMS-63	- 1.0	- 1.9	+ 1 402			
FV_62		- 0.6	+ 1 452		20.02.2010	
FH_62	0		+ 1 473		28.03.2018	
D3_PRGAZ-62	+ 0.1	- 1.7	+ 1 627			
Porte-cibles	+ 0.6	- 0.9	+ 3 812.9	Trou central du masque	03.05.2018	



éomètres Alignement

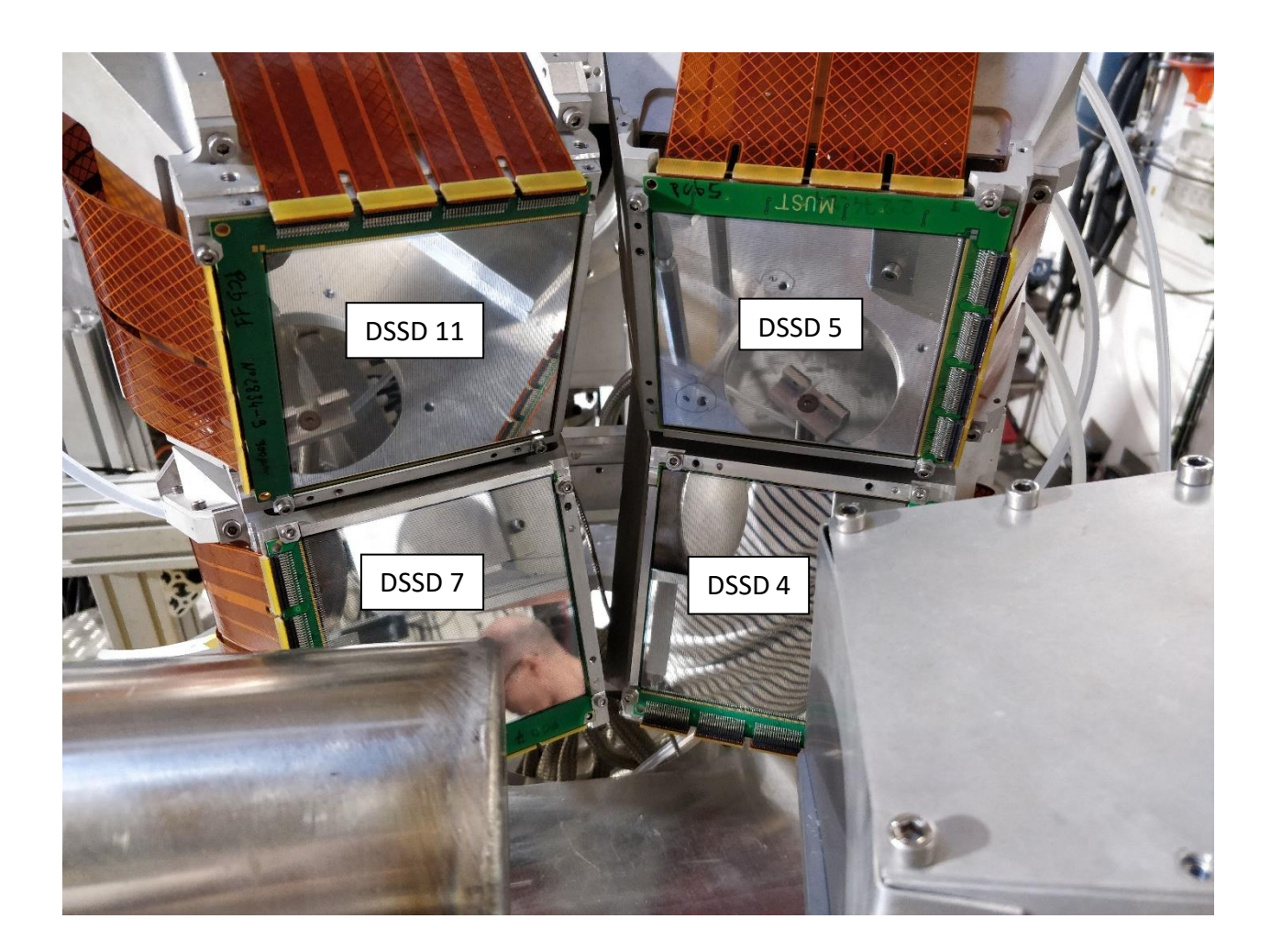
Référence *STP-2018-E054* 

Page

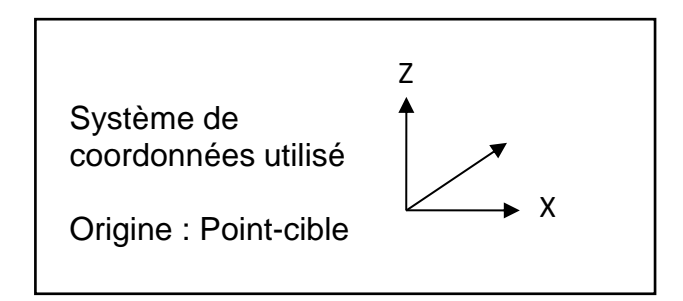
3/6

### 2 Alignement des détecteurs MUST2

Repérage tridimensionnel des siliciums depuis la cible, par rapport à la direction théorique du faisceau (au moyen d'un système de mesure portable à bras 6 axes)



#### 2.1 Système de coordonnées utilisé





éomètres Alignement

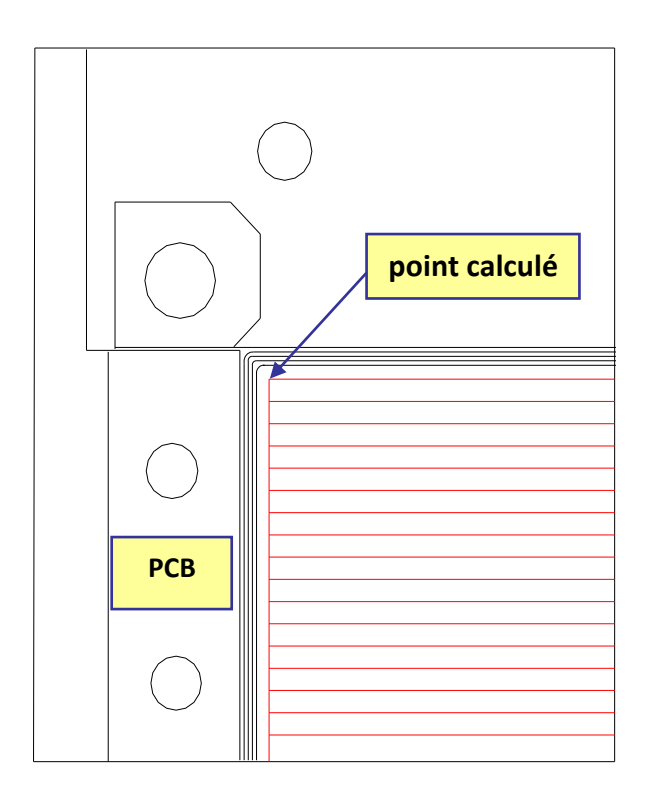
Référence

STP-2018-E054

Page

4/6

#### 2.2 <u>Croquis montrant la position du point calculé sur le silicium</u>



#### 2.3 Incertitudes de mesure

- Les erreurs moyennes quadratiques (emq) sur les vecteurs de transformation 3D de la position des trous phi 3.2 mm du PCB entre le système ancien (mesures en laboratoire) et le nouveau système (mesures sur site, dans la chambre à réactions) sont de l'ordre de 0.10 mm (comprises entre 0.07 et 0.10 mm).
- $\bullet$  L'incertitude de mesure sur un point unique donnée par l'instrument est de  $\pm 0.056$  mm à 2  $\sigma$ .
- L'incertitude globale sur la position tridimensionnelle des détecteurs dans la chambre à réactions peut être estimée en tenant compte de l'incertitude de mesure de l'instrument, de l'erreur résultante sur la détermination des coordonnées relatives (hors site) du silicium par rapport au PCB, l'erreur issue de l'adaptation d'Helmert et l'erreur sur l'alignement du référentiel :

$$\sqrt{0.06^2 + 0.06^2 + 0.09^2 + 0.20^2} = \pm 0.23mm$$



éomètres Alignement

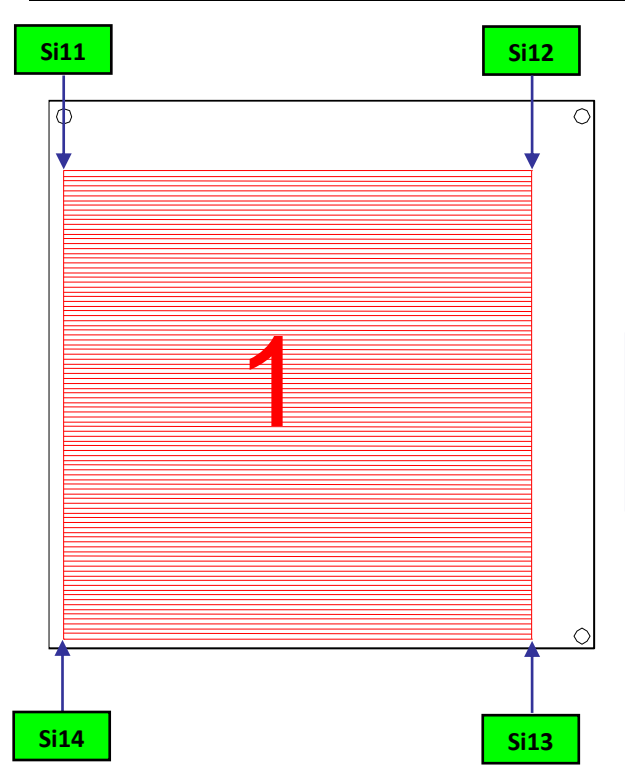
Référence

STP-2018-E054

Page

5/6

### 2.4 <u>Principe de numérotation des détecteurs Si</u>



Nota: l'orientation du Si ci-contre ne correspond pas obligatoirement à sa position dans la chambre à réaction

# 2.5 <u>Position des détecteurs MUST2 (en mètre)</u>

	Angle Si	Х	Υ	Z
	Si111	-0.11509	0.14054	0.01103
DSSD11	Si112	-0.10367	0.11126	0.10332
033011	Si113	-0.01352	0.14705	0.10353
	Si114	-0.02494	0.17634	0.01124
	Si51	0.01205	0.14754	0.10450
DSSD5	Si52	0.10243	0.11159	0.10470
כטננט	Si53	0.11408	0.14036	0.01253
	Si54	0.02371	0.17630	0.01232
	Si71	-0.01311	0.14701	-0.10321
DSSD7	Si72	-0.10338	0.11082	-0.10324
03307	Si73	-0.11496	0.13934	-0.01099
	Si74	-0.02466	0.17556	-0.01090
	Si41	0.11449	0.14040	-0.01046
DSSD4	Si42	0.10309	0.11164	-0.10267
03304	Si43	0.01256	0.14747	-0.10258
	Si44	0.02397	0.17622	-0.01038
	Si21	0.04851	0.86030	0.04721
DSSD2	Si22	0.04884	0.86045	-0.05007
საასგ	Si23	-0.04845	0.86026	-0.05036
	Si24	-0.04881	0.86011	0.04691



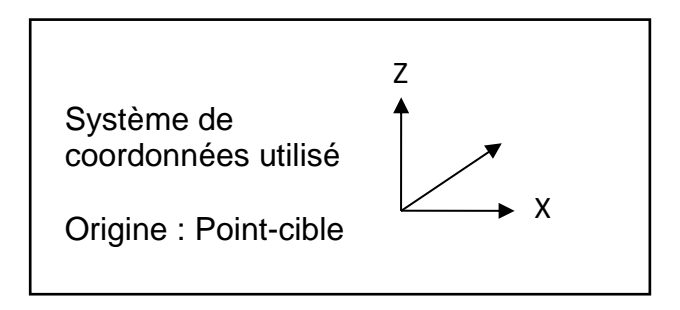
éomètres Alignement

Référence *STP-2018-E054* 

Page

6/6

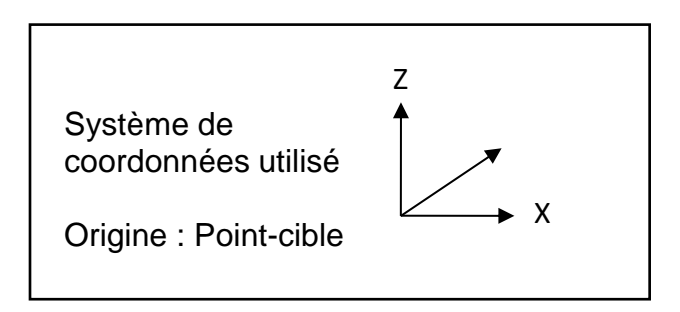
## 3 Position du détecteur EXL (en mètre)



Chaque face de l'enveloppe du détecteur a été mesurée. Les points calculés par intersection de plans, sont les 4 angles vus de la cible.

Angles	X	Υ	Z
Bas Droit	0.02748	-0.06890	-0.04784
Bas Gauche	0.05181	0.04644	-0.04764
Haut Droit	0.02366	-0.06609	0.04781
Haut Gauche	0.04737	0.04612	0.04726

## 4 Position du détecteur PTT (en mètre)



	X	Υ	Z
Centre Face avant du cylindre	-0.04421	-0.00089	-0.00532
Point mesuré sur l'axe du cylindre (donnant la direction)	-0.28118	0.00086	-0.00361